YAK 674.815.41

А.Б.Израелит, М.Ш.Пильцер (Ленинградская лесотехническая академия)

ОСТАТОЧНЫЕ НАПРЯЖЕНИЯ В ДРЕВЕСНОСТРУЖЕЧНЫХ ПЛИТАХ

После прессования древесностружечной плиты она остывает и прессующие давления снимаются. В результате пьезотермообработки древесные частицы в плите связаны в елиную монолитную композицию. Поэтому снягие давлений и остывание приводят к
ликвидации накопленных упругих дерормаций частиц, сгановятся
причиной появления внутренних остаточных напряжений, влияющих
на прочность древесностружечных плит. Основные причины появления этих остаточных напряжений заключаются, во-первых, в
различной поперечной дерормативности различно ориентированных
частиц и, во-вторых, в их различной температурной дерормативности вдоль и поперек волокон. Настоядая статья посвящена
анализу этих остаточных напряжений и установлению их зависимости от технологических факторов пьезотермообработки.

Рассмотрим совместное деформирование двух склеенных древесных частиц различной толщинь δ_4 и δ_2 после снятия давления и остывания (рис. I). Ориентацию частиц в плоскости плиты (в плоскости xy) полагаем произвольной при условии, что длина и ширина частицы лежат в этой плоскостийменно так частицы в основном располагается в процессе насыпания ковра и прессования.

Запивем условия равновесия и условия совместности деформаций выделенного склеенного элемента из двух частиц при остывании на температуру T и снятии давления p. Напряжения в плоскости частиц обозначим $G_{\mathcal{X}_4}$, $G_{\mathcal{Y}_4}$, $G_{\mathcal{X}_2}$, $G_{\mathcal{Y}_2}$.

$$\begin{cases} G_{y_1} \delta_1 = G_{y_2} \delta_2 & ; & G_{x_1} \delta_1 = G_{x_2} \delta_2 & ; \\ \frac{G_{x_1}}{E_{x_1}} - \frac{V_{xy_1}G_{y_1}}{E_{y_1}} + \frac{V_{xz_1}P}{E_{z_1}} - \alpha_{x_1}T = \frac{G_{x_2}}{E_{x_2}} - \frac{V_{xy_2}G_{y_2}}{E_{y_2}} + \frac{V_{zx_2}P}{E_{z_2}} + \alpha_{x_2}T & ; \\ -\frac{G_{y_1}}{E_{y_1}} - \frac{V_{yx_1}G_{x_1}}{E_{x_1}} + \frac{V_{yz_1}P}{E_{z_1}} + \alpha_{y_1}T = \frac{G_{y_2}}{E_{y_2}} + \frac{V_{yx_2}G_{x_2}}{E_{x_2}} + \frac{V_{yz_2}P}{E_{z_2}} + \alpha_{y_2}T & ; \end{cases}$$

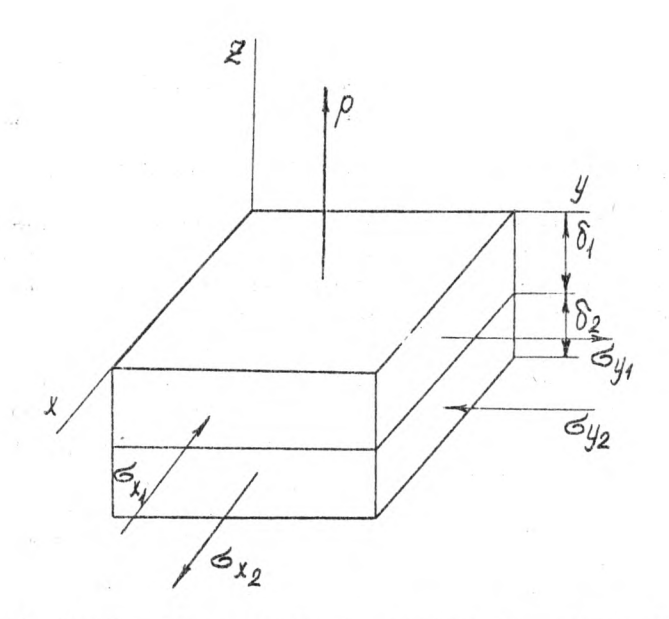


Рис. I. Схема действия остаточных напряжений в древесных частицах

где $\mathbf{E}_{\mathcal{X}}$, $\mathbf{E}_{\mathcal{Y}}$, $\mathbf{E}_{\mathcal{Z}}$ — модули упругости соответствующих по номеру частиц вдоль осей, $V_{\mathcal{X}\mathcal{Y}}, V_{\mathcal{X}\mathcal{Z}}, V_{\mathcal{Y}\mathcal{X}}$, $V_{\mathcal{Y}\mathcal{Z}}$ — ко эффициенты Пуассона, характериз ующие деформацию в направлении оси, определяемой первым индек сом от напряжений в направлении вгорого индек са, $\mathcal{A}_{\mathcal{X}}$, $\mathcal{A}_{\mathcal{Y}}$ — ко эффициенты линеиной температурной деформации.

В связи с тем, что упругомеханические свойства древесины наиболее сильно различаются вдоль и поперек волокон, рассмотрим случай такого ортогонального расположения склеенных частиц. В этом случае остаточные пьезотермические напряжения, очевидно, достигают максимальной величины.

Условия равновесия при этом сохранят свою форму

$$KGy_1 = Gy_2$$
; $KG_{x_1} = G_{x_2}$, (2) где $K = -\frac{5}{6}$ — отно шение толщины более тонкой частицы к более тологой, $K \leq I$.

Условия совместности деформаций после подстановки соот-

ветствующих значений модулей упругости и коэффициентов Пуассона при обозначении направлений вдоль и поперек волокон индексами О и 1 примут вид:

$$\frac{G_{x_1}}{E_0} + \frac{V_{01}G_{y_1}}{E_1} + \frac{V_{01}P}{E_1} + \alpha_0 T = \frac{G_{x_2}}{E_1} - \frac{V_{10}G_{y_2}}{E_0} + \frac{V_{11}P}{E_1} + \alpha_1 T ;$$

$$-\frac{G_{y_1}}{E_1} - \frac{V_{10}G_{x_1}}{E_0} + \frac{V_{11}P}{E_1} + \alpha_1 T = \frac{G_{y_2}}{E_0} + \frac{V_{01}G_{x_2}}{E_1} + \frac{V_{01}P}{E_1} + \alpha_0 T. \tag{3}$$
При составлении уразнений совместности дерормаций мы пренебрегли различием свойст в частиц в тангентальном и радиальном на-

правлениях, вводя усредненный поперечный модуль упругости E_{\perp} и соответствующие усредненные коэффициенты Пуассона V_{LL} , V_{LO} и . V_{OI} . Аналогичную индексацию мы ввели к коэффициентам линейного расширения, индекс O характеризует направление вдоль колокон,

индекс 4 - поперек.

Предложенное усреднение по перечных свойств древесных частиц соответствует технологии их изготовления, так как частицы могут быть различно ориентированы относительно осей анизотронии. С другой стороны, это предположение лежит в пределах точности исходных предпосылок исследования в связи с большой вариантностью свойств древесины и особенно древесных частиц, подвергшихся дополнительной механической обработке.

Решая уравнения (2) и (3) совместно, находим

$$\delta_{x_{1}} = \frac{\left[E_{0}p(V_{LL}-V_{0L})+E_{0}E_{L}(\omega_{L}-\omega_{0})T\right]\left[E_{L}K(1-V_{L0})+E_{0}(1-V_{0L})\right]}{\left[E_{L}K(1-V_{10})+E_{0}(1-V_{0L})\right]\left(E_{L}+\kappa E_{0}\right)+\left[E_{L}(1-V_{L0})+E_{0}K(1-V_{0L})\right]\left(E_{L}KV_{L0}+E_{0}V_{0L}\right)},$$

$$\delta_{y_{1}} = \frac{\left[E_{0}p(V_{L1}-V_{0L})+E_{0}E_{L}(\omega_{L}-\omega_{0})T\right]\left[E_{L}(1-V_{0L})+E_{0}K(1-V_{0L})\right]}{\left[E_{L}K(1-V_{L0})+E_{0}(1-V_{0L})\right]\left(E_{L}+\kappa E_{0}\right)+\left[E_{L}(1-V_{L0})+E_{0}K(1-V_{0L})\right]\left[E_{L}KV_{L0}+E_{0}V_{0L}\right]},$$

$$\delta_{x_{2}} = \kappa \delta_{x_{1}}; \qquad \delta_{y_{2}} = \kappa \delta_{y_{1}}.$$

Полученные зависимости показывают, что напряжения распределены обратно пропорционально толщинам частиц, т.е. наиболее напряженными являются тонкие частицы.

Зададимся некоторими усредненными зна чениями упругих характеристик частиц для проведения численного исследования:

Bo = 15000 MHa, B₁ = 500 MHa,
$$V_{11}$$
 = 0,80, V_{01} = 0,04, V_{10} = 0,5, ω_{1} = 35.10⁻⁶, ω_{0} = 5.10⁻⁶.

Параметры пьезотермообработки примем обычными: Т = 100°С, Р = 2 МПа. После подстановки численных значении выражения для напряжений примут вид:

Бу₄ =
$$\frac{45, 3 \cdot 10^3 (250 \text{ к} + 14400)}{(250 \text{ к} + 14400) (500 + 15000 \text{ к}) + (250 + 14400 \text{ к})(250 \text{ к} + 500)}$$

(250 к + 14400)(500 + 15000 к) + (250 + 14400 к)(250 к + 600)

В таблице подсчитаны значения напряжений при варьировании относительной толщиной склеиваемых стружек К от 0,3 до I, а на рис. 2 построены кривые, харакгеризующие изменение этих напряжений в наиболее напряженной тонкой частице.

Зна чения остато чых напряжений при варьировании относительной толщиной частиц

Остаточно е напряжение, МПа	В			
	0,3	0,5	0,7	1,0
5 æ,	6,44	5,4I	3, 92	2,77
6 41	2,05	2,73	2,75	2,77
Ox.	I, 93	2,71	2,75	2,77
Gy,	0,62	I, 39	I, 93	2,77

Полу ченные результаты и построенные графики на рис. 2 показывают, что по мере выраднивания толщин склеенных частиц в наиболее опасной тонкой частице напряжения вдоль волокон интенсивно снижаются, а поперек - замедленно растуг. Наибольшую

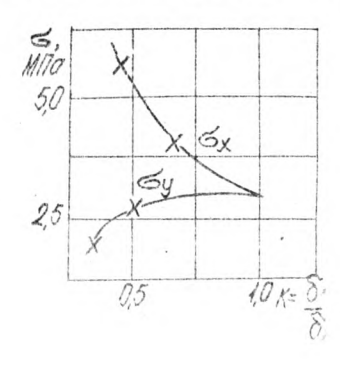


Рис. 2. Зависимость остаточных напряжений от относительной толщины склаенных частиц

опасность для общей прочности плиты представляют напряжения по перек волокон, достигающие 2,77 МПа, при прочности частиц в этом направлении до 10...12 МПа.

Виводы

- Хаотичное расположение частиц в древесностружечных плитах приводит к появлению в них остаточных на пряжений, которые могут существенно отражаться на прочности изделий из плит.
- 2. Найденные зависимости позволяют оценить влияние различных технологических факторов на величины остаточных напряжений и соответственно регулировать режимы пьезотермообработки.
- Радикальным спофом снижения остаточных напряжений в древесноогружечных плитах является принудигельная ориентация частиц по осям анизотропии.

VIK 674.815-41

А.А.Эльберт, Л.П.Коврижных, А.П.Штембах, Г.А.Зубарева (Ленинградская лесотехническая академия)

МОДИФИКАЦИЯ ТЕХНИЧЕСКИХ ЛИГНОСУЛЬФОНАТОВ ДЛЯ ИСПОЛЬЗОВАНИЯ В КАЧЕСТВЕ КОМПОНЕНТА СВЯЗУЮЩЕГО ДРЕВЕСНОСТРУЖЕЧНЫХ ПЛИТ

Опыт использования технических лигносульфонатов для частичного за мещения карбами доформальдегидной смолы показал, что их содержание в связующем ограничено 5... 10%. Дальней шее у величение содержания лигносульфоната в связующем приводит к замедлению процесса поликонденсации, снижаются от епень отверждения и показатели прочности и водосгойкости плит [I].

Лигносульфонаты являются чрезвычайно перспективным химическим сырьем. Основные работы направлены на их модификацию с целью раскрытия возможностей взаимодействия с различными реагентами и увеличения реакционной способности лигносульфонато в [2]. Были сделаны попытки использовать лигносульфонат в композиции карбамидоформальдегидной смолы и стандартного отвердителя - хлористого аммония, но результаты показали ухудшение свойств связующего и плит на его основе.

В данной работе рассматривали возможность использования перекисных соединений, в частности, персульфата аммония, для